

О ДЕЗАРГОВОЙ ГЕОМЕТРИЗАЦИИ ХАРАКТЕРИСТИКИ ТЕЛА

И. А. Хубежты

В настоящей работе содержатся: 1) дезаргова геометризация характеристики $p \geq 5$ поля, в виде конфигурационной теоремы K_p , содержащей пару перспективных p -вершинников с центром S и осью l , где $S \not\in l$; 2) дезарговы геометризации характеристик 2 и 3 тел, в виде конфигурационных теорем $D_8^*(\bar{1}\bar{2}\bar{3}; \bar{1}'\bar{2}'\bar{3}')$ и $L_7(\bar{1}\bar{2}\bar{3}; \bar{1}'\bar{2}'\bar{3}')$ соответственно; 3) доказательства теорем: « $L_{10} \Rightarrow K_p$ », « $7_3 \Rightarrow D_8^*$ », « $L_7 \Leftrightarrow 8_3$ » и « $K_p \Leftrightarrow p = 0$ ».

В настоящей работе содержатся: 1) дезаргова геометризация характеристики $p \geq 5$ поля, в виде конфигурационной теоремы K_p , содержащей пару перспективных p -вершинников с центром S и осью l , где $S \not\in l$; 2) дезарговы геометризации характеристик 2 и 3 тел, в виде конфигурационных теорем $D_8^*(\bar{1}\bar{2}\bar{3}; \bar{1}'\bar{2}'\bar{3}')$ и $L_7(\bar{1}\bar{2}\bar{3}; \bar{1}'\bar{2}'\bar{3}')$, соответственно; 3) доказательства теорем: « $L_{10} \Rightarrow K_p$ », « $7_3 \Rightarrow D_8^*$ », « $L_7 \Leftrightarrow 8_3$ » и « $K_p \Leftrightarrow p = 0$ ».

Эти результаты отличаются своей дезарговостью от результатов Фано [1], Рашевского [2], Цаппа [3] и Карtesи [4] о геометризациях равенств $1 + \dots + 1 = n = 0$, где n натуральное число.

Сначала найдем дезаргову геометризацию характеристики $p > 3$ поля в виде конфигурационной теоремы K_p , содержащей перспективные p -вершинники и представляющей некоторый обобщенный аналог малой теоремы Дезарга (L_{10}).

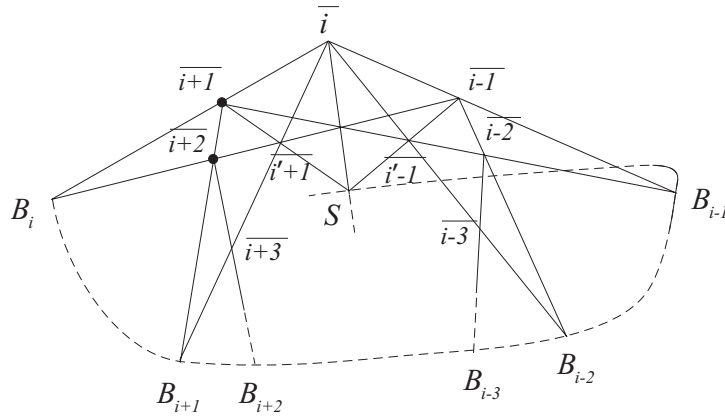


Рис. 1.

Конфигурационная теорема 1 (рис. 1). Пусть для точек $\bar{1}, \bar{2}, \dots, \bar{p}$ общего положения, где p — простое натуральное число, выполняются следующие инциденции:

$$\begin{aligned} \bar{i}' &= [\bar{i} \Leftrightarrow \bar{1}, \bar{i} + \bar{2}] \cap [\bar{i} \Leftrightarrow \bar{2}, \bar{i} + \bar{1}], \quad i = 3, \dots, p, p+1, p+2, \\ B_i &= [\bar{i}, \bar{i} + \bar{1}] \cap [\bar{i}', \bar{i}' + \bar{1}], \quad i = 1, \dots, p, \quad \{\bar{p} + \bar{i} \equiv \bar{i}\}, [\bar{i}, \bar{i}'] \neq [\bar{K}, \bar{K}'] \text{ при } i \neq K, \\ \bar{i}' &\neq S = [\bar{1}, \bar{1}'] \cap [\bar{2}, \bar{2}'] \cap \dots \cap [\bar{P}, \bar{P}'], \quad (S, B_1, \dots, B_{i-1}, B_{i+1}, \dots, B_p). \end{aligned}$$

Тогда выполняется и замыкающая инциденция

$$(S, B_1, \dots, B_{i-1}, B_i, B_{i+1}, \dots, B_p).$$

Теорема K_p состоит из $3p + 1$ точек и $3p + 1$ прямых и имеет ранг 4.

Теорема 2. Некоторым ограниченным квазитождеством конфигурационной теоремы K_p является равенство $p = 0$ ($p > 3$).

▫ Пусть образующие точки в папповой плоскости имеют следующие координаты:

$$\begin{aligned} \overline{P \Leftrightarrow i} &= (2p \Leftrightarrow 2i, 1 + \dots + (i+1)) = (2p \Leftrightarrow 2i, 2^{-1}(i+2)(i+1)), \quad i = 0, \dots, p \Leftrightarrow 1, \\ \overline{P} &= (2p, 1), \overline{P \Leftrightarrow 1} = (2p \Leftrightarrow 2, 1+2), \overline{P \Leftrightarrow 2} = (2p \Leftrightarrow 4, 1+2+3), \dots \\ \overline{2} &= (4, p(p \Leftrightarrow 1) \cdot 2^{-1}), \overline{1} = (2, p(p+1) \cdot 2^{-1}), \overline{3} = (6, (p \Leftrightarrow 1)(p \Leftrightarrow 2) \cdot 2^{-1}) \}. \end{aligned}$$

Тогда, пользуясь аксиомами поля, получаем:

$$B_{p-2} = [\overline{P \Leftrightarrow 2}, \overline{P \Leftrightarrow 1}] \cap [\overline{P}, \overline{P \Leftrightarrow 3}] = [y = xm + n] \cap [y = xm' + n'] = l \cap l',$$

$$\left. \begin{array}{l} \overline{P \Leftrightarrow 2} \ni l \Leftrightarrow 6 = (2p \Leftrightarrow 4) \cdot m + n \\ \overline{P \Leftrightarrow 1} \ni l' \Leftrightarrow 3 = (2p \Leftrightarrow 2) \cdot m + n \end{array} \right\} \Rightarrow 3 = \Leftrightarrow 2m \Rightarrow m = \Leftrightarrow 3 \cdot 2^{-1},$$

$$\begin{aligned} n &= 3 \Leftrightarrow (2p \Leftrightarrow 2)(\Leftrightarrow 3 \cdot 2^{-1}) = 3 + 3 \cdot 2^{-1}(2p \Leftrightarrow 2) = 3p \\ &\Rightarrow [\overline{P \Leftrightarrow 2}, \overline{P \Leftrightarrow 1}] = [y = \Leftrightarrow 3 \cdot 2^{-1}x + 3p]; \end{aligned}$$

$$\left. \begin{array}{l} \overline{P} \ni l_2 \Leftrightarrow 1 = 2pm' + n' \\ \overline{P \Leftrightarrow 3} \ni l_2 \Leftrightarrow 10 = (2p \Leftrightarrow 6)m' + n' \end{array} \right\} \Rightarrow m' = \Leftrightarrow 3 \cdot 2^{-1},$$

$$n' = 1 \Leftrightarrow 2p \cdot (\Leftrightarrow 3 \cdot 2^{-1}) = 1 + 3p,$$

$$[y = (\Leftrightarrow 3 \cdot 2^{-1})x + (1 + 3p)] = [\overline{P}, \overline{P \Leftrightarrow 3}],$$

$$\begin{aligned}
B_{p-2} &= (\Leftrightarrow 3 \cdot 2^{-1}) \ni l_\infty, \\
B_{p-3} &= [\overline{P \Leftrightarrow 3}, \overline{P \Leftrightarrow 2}] \cap [\overline{P \Leftrightarrow 4}, \overline{P \Leftrightarrow 1}] = [y = \Leftrightarrow 2x + 5p \Leftrightarrow 2] \cap [y = \Leftrightarrow 2x + n] = (\Leftrightarrow 2), \\
[B_{p-2}, B_{p-3}] &= l_\infty. \\
B_p &= [\overline{P}, \overline{1}] \cap [\overline{2}, \overline{P \Leftrightarrow 1}] = [y = xf + t] \cap [y = xf_1 + t_1], \\
f_1 &= \frac{p^2 \Leftrightarrow p \Leftrightarrow 6}{4(3 \Leftrightarrow p)}, \quad f = \frac{p^2 + p \Leftrightarrow 2}{4(1 \Leftrightarrow p)}, \\
f = f_1 \Leftrightarrow 5p &= 5p \Leftrightarrow B_p \ni l_\infty. \tag{1}
\end{aligned}$$

$$\begin{aligned}
B_1 &= [\overline{1}, \overline{2}] \cap [\overline{P}, \overline{3}] = \left[y = x \left(\Leftrightarrow \frac{p}{2} \right) + \frac{p(p+3)}{2} \right] \cap \left[y = \Leftrightarrow \frac{p}{4}x + 1 + \frac{p^2}{2} \right] \\
\ni l_\infty &\Leftrightarrow \Leftrightarrow \frac{p}{4} = \Leftrightarrow \frac{p}{2} \Leftrightarrow p = 2p \Rightarrow p = 0 \Rightarrow B_1 = (0).
\end{aligned}$$

Далее, имеем:

$$\begin{aligned}
B_{p-i} &= [\overline{P \Leftrightarrow i}, \overline{P \Leftrightarrow (i \Leftrightarrow 1)}] \cap [\overline{P \Leftrightarrow (i \Leftrightarrow 2)}, \overline{P \Leftrightarrow (i+1)}] \ni l_\infty, \\
B_{p-i} &= [y = xm_1 + n_1] \cap [y = xm_2 + n_2] \\
&= [y = \Leftrightarrow x \cdot 2^{-1}(i+1) + 2^{-1}(i+1)(2+2p \Leftrightarrow i)] \\
&\cap [y = \Leftrightarrow (i+1) \cdot 2^{-1}x + 2^{-1}(\Leftrightarrow i^2 + i + 2pi + 2p + r)] \\
&= (\Leftrightarrow 2^{-1}(i+1)) \tag{2}
\end{aligned}$$

При $i = 0$ из (1) и (2), в силу (B_1, \dots, B_p, S) , имеем:

$$\begin{aligned}
B_p &= \left(\Leftrightarrow \frac{1}{2} \right) = \left(\frac{p^2 \Leftrightarrow p \Leftrightarrow 6}{4(3 \Leftrightarrow p)} \right) \Leftrightarrow (p \Leftrightarrow 3)p = 0, \quad p \neq 3, \quad p = 0, \\
B_p &= \left(\Leftrightarrow \frac{1}{2} \right) = \left(\frac{p^2 + p \Leftrightarrow 2}{4(1 \Leftrightarrow p)} \right) \Leftrightarrow (p \Leftrightarrow 1)p = 0, \quad p \neq 1, \quad p = 0;
\end{aligned}$$

$$\begin{aligned}
(\overline{P \Leftrightarrow i})' &= [\overline{P \Leftrightarrow (i \Leftrightarrow 1)}, \overline{P \Leftrightarrow (i+2)}] \cap [\overline{P \Leftrightarrow (i+1)}, \overline{P \Leftrightarrow (i \Leftrightarrow 2)}] \\
&= [y = xn_1 + n_0] \cap [y = xm_1 + m_0] \\
&= [y = \Leftrightarrow (i+2)2^{-1} \cdot x + 2^{-1}(\Leftrightarrow i^2 \Leftrightarrow i + 2pi + 4p + 4)] \\
&\cap [y = \Leftrightarrow (i+1)2^{-1} \cdot x + 2^{-1}(\Leftrightarrow i^2 + i + 2pi + 2p + 4)] \\
&= (2p \Leftrightarrow 2i, y_{(p-i)'}),
\end{aligned} \tag{3}$$

$$\begin{aligned}
i = 0, \dots, p \Leftrightarrow 1 \Rightarrow x_{p-i} &= x_{(p-i)'} = 2p \Leftrightarrow 2i \Leftrightarrow [\overline{P \Leftrightarrow i}, \overline{(P \Leftrightarrow i)'}] \cap l_\infty \\
&= [y = 2p \Leftrightarrow 2i] \cap l_\infty = (\infty) = [\overline{P}, \overline{P'}] \cap [\overline{P \Leftrightarrow 1}, \overline{(P \Leftrightarrow 1)'}] \cap \dots \cap [\overline{1}, \overline{1'}] = S.
\end{aligned}$$

Итак, из выполнения всех инциденций конфигурационной теоремы K_p следует, что $p = 0$ в тернарном кольце папповой плоскости, для любого простого числа p . Доказательство же соотношения « $p = 0 \Rightarrow K_p$ » осуществляется обратным ходом выкладок, проведенных выше, опираясь на систему образующих точек K_p :

$$\begin{aligned}\overline{P} &= (0, 1), \quad \overline{P \Leftrightarrow i} = (\Leftrightarrow 2i, (i+2)(i+1)2^{-1}), \dots, \quad \overline{3} = (6, 1), \\ \overline{2} &= (4, 0), \quad \overline{1} = (2, 0), \quad i = 1, \dots, p \Leftrightarrow 1. \quad \triangleright\end{aligned}$$

Теорема 3. Для точек $\overline{P \Leftrightarrow i} = (x_{\overline{P-i}}, y_{\overline{P-i}})$ и $(\overline{P \Leftrightarrow i})' = (x_{\overline{P-i}'}, y_{\overline{(P-i)'}})$, при указанном в доказательстве теоремы 2 наборе координат образующих точек K_p , имеет место:

$$y_{\overline{(P-i)'}} = y_{\overline{P-i}} + 1, \quad i = 0, 1, \dots, p \Leftrightarrow 1.$$

« \triangleleft В силу (3) имеем:

$$y_{\overline{P-i}} = 2^{-1}(i+2)(i+1) = 2^{-1}(i^2 + 3i + 2),$$

$$\begin{aligned}y_{\overline{(P-i)'}} &= x_{\overline{(P-i)'}} \cdot n_1 + n_0 = \Leftrightarrow \frac{i+2}{2} \cdot 2(p \Leftrightarrow i) + n_0 \\ &= 2^{-1}[\Leftrightarrow 2(i+2)(p \Leftrightarrow i) \Leftrightarrow i^2 \Leftrightarrow i + 2pi + 4p + 4] \\ &= 2^{-1}(\Leftrightarrow 2ip + 2i^2 \Leftrightarrow 4p + 4i \Leftrightarrow i^2 \Leftrightarrow i + 2pi + 4p + 4) \\ &= 2^{-1}(i^2 + 3i + 4) = y_{p-i} + 1, \quad \forall i = 0, \dots, p \Leftrightarrow 1. \quad \triangleright\end{aligned}$$

Теорема 4. Если в папповой плоскости выполняются все инциденции теоремы K_p , то точки пересечения соответствующих диагоналей ее p -вершинников $\overline{1} \dots \overline{P}$ и $\overline{1}' \dots \overline{P}'$ будут лежать на оси перспективы p -вершинников.

« \triangleleft В силу доказательств теорем 2 и 3, имеем:

$$\begin{aligned}\overline{P \Leftrightarrow k} &= (2p \Leftrightarrow 2k, 2^{-1}(k+2)(k+1)), \\ \overline{(P \Leftrightarrow k)'} &= (2p \Leftrightarrow 2k, 2^{-1}(k^2 + 3k + 4)),\end{aligned}$$

$$l_i = [\overline{P \Leftrightarrow k}, \overline{P \Leftrightarrow i}] = [y = xm + t],$$

$$\begin{aligned}\overline{P \Leftrightarrow k} \ni l_i \Leftrightarrow 2^{-1}(k+2)(k+1) &= 2(p \Leftrightarrow k) \cdot m + t \\ \overline{P \Leftrightarrow i} \ni l_i \Leftrightarrow 2^{-1}(i+2)(i+1) &= 2(p \Leftrightarrow i) \cdot m + t\end{aligned}\right\} \Rightarrow$$

$$2^{-1}((k+2)(k+1) \Leftrightarrow (i+2)(i+1)) = 2(p \Leftrightarrow k \Leftrightarrow p+i)m,$$

$$m = \Leftrightarrow 2^{-2}(k+i+3),$$

$$l'_i = [\overline{(P \Leftrightarrow k)'}, \overline{(P \Leftrightarrow i)'} = [y = xn + s],$$

$$\begin{aligned} \overline{(P \Leftrightarrow k)'} \ni l'_i \Leftrightarrow 2^{-1}(k^2 + 3k + 4) = 2(p \Leftrightarrow k) \cdot n + r \\ \overline{(P \Leftrightarrow i)'} \ni l'_i \Leftrightarrow 2^{-1}(i^2 + 3i + 4) = 2(p \Leftrightarrow i) \cdot n + r \end{aligned} \Rightarrow$$

$$2^{-2}(k^2 \Leftrightarrow i^2 + 3(k \Leftrightarrow 1)) = 2(i \Leftrightarrow k)n \Rightarrow n = \Leftrightarrow 2^{-2}(k+i+3) = m.$$

Таким образом, прямые l_i и l'_i пересекаются в точке ($\Leftrightarrow 2^{-2}(k+i+3)$) прямой l_∞ -оси перспективы p -вершинников $\bar{1} \dots \bar{P}$ и $\bar{1}' \dots \bar{P}'$. \triangleright

ПРИМЕЧАНИЕ 1. Теорема 2 доказана пока лишь для папповой плоскости характеристики p . Аналогичным образом ее можно доказать и в дезарговой и муфанговой плоскостях характеристики p .

ПРИМЕЧАНИЕ 2. Как известно из [4], геометрическое представление (T_n) равенства $1 + \dots + 1 = n = 0$, где n — любое натуральное число, не содержит пар перспективных p -вершинников. Теорема же K_p состоит из двух p -вершинников $\bar{1} \dots \bar{P}$ и $\bar{1}' \dots \bar{P}'$, имеющих ось l и центр S перспективы, причем $S \not\in l$.

О дезарговом содержании теоремы K_p гласит следующая

Теорема 5. В плоскости G_p , $p \neq 2$, справедлива импликация $L_{10} \Rightarrow K_p$.

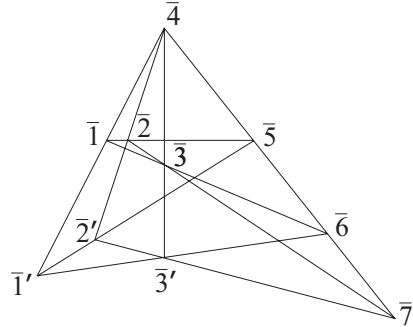


Рис. 2. (L_{10})

\triangleleft Рассмотрим рис. 1 и 2. Расширим K_p диагоналями ее p -вершинников $\bar{1} \dots \bar{P}$ и $\bar{1}' \dots \bar{P}'$ и рассмотрим пары перспективных трехвершинников: $\{\bar{1}\bar{2}\bar{3}; \bar{1}'\bar{2}'\bar{3}'\}$, $\{\bar{1}\bar{3}\bar{4}; \bar{1}'\bar{3}'\bar{4}'\}$, \dots , $\{\bar{1}\bar{P} \Leftrightarrow \bar{2}\bar{P} \Leftrightarrow \bar{1}; \bar{1}'(\bar{P} \Leftrightarrow 2)'(\bar{P} \Leftrightarrow 1)'\}$, $\{\bar{1}\bar{P} \Leftrightarrow \bar{1}\bar{P}'; \bar{1}'(\bar{P} \Leftrightarrow 1)'\bar{P}'\}$, в каждой из которых в силу теорем 2 и 4 выполняются условия теоремы L_{10} , (рис. 2). Применив к каждой из них в указанном порядке теорему L_{10} , мы убедимся в выполнении всех инциденций теоремы K_p (выкладки опускаем). \triangleright

Ввиду проективного выполнения L_{10} в муфанговой плоскости справедливо

Предложение 5 (1). В муфтановой плоскости характеристики $p \neq 2$ теорема K_p выполняется проективно.

Так как в плоскости G_p , $p \neq 2$, теорема D_9 проективно эквивалентна D_{10} (см. [8]), и кроме того, $L_{10} \Leftrightarrow D_{10}$, и $L_{10} \Rightarrow K_p$ (см. теорему 5), то справедливо

Предложение 5 (2). В плоскости G_p , $p \neq 2$, из L_9 следует K_p .

ПРИМЕЧАНИЕ 3. Характерной особенностью K_p является то, что при некоторых p ее можно образовать из $p \Leftrightarrow 1$ точек. Например, K_5 можно образовать из четырех точек: $\bar{5}, \bar{5}', B_5$ и B_4 , следуя таблице инциденций вида (рис. 3)

$$S = [\bar{5}, \bar{5}'] \cap [B_4, B_5], \quad \bar{1} = [B_5, \bar{5}] \cap [\bar{5}', \bar{B}_4], \quad \bar{4} = [\bar{5}, B_4] \cap [\bar{B}_5, \bar{5}'], \quad \bar{1}' = [\bar{1}, S] \cap [\bar{5}', \bar{B}_5],$$

$$B_2 = [B_4, B_5] \cap [\bar{1}, \bar{4}], \quad \bar{3} = [\bar{5}', B_4] \cap [\bar{5}, \bar{1'}], \quad \bar{3}' = [\bar{3}, S] \cap [\bar{1}, \bar{4}], \quad \bar{2} = [\bar{5}, \bar{3}'] \cap [\bar{3}, \bar{B}_2],$$

$$\bar{2}' = [\bar{2}, S] \cap [\bar{1}, \bar{4}], \quad B_2 = [\bar{2}, \bar{5}] \cap [\bar{3}, \bar{4}], \quad B_1 = [\bar{1}, \bar{2}] \cap [\bar{1}', \bar{2}'], \quad \bar{4}' = [\bar{4}, S] \cap [\bar{5}, \bar{3}'],$$

и замыкающим инциденциям (S, B_1, B_2, B_3) . При этом остается справедливым соотношение $\langle K_5 \Leftrightarrow 5 = 0 \rangle$. В самом деле, следуя указанной таблице инциденций и замыкающей инциденции K_5 , при $\bar{5} = (0), \bar{5}' = (0, 1), B_5 = (0, \Leftrightarrow 2), B_4 = (\Leftrightarrow 1, 0)$, получаем:

$$\bar{1} = (\Leftrightarrow 3, \Leftrightarrow 2), \quad \bar{4} = (0, 0), \quad B_2 = (\Leftrightarrow 3 \cdot 4^{-1}, \Leftrightarrow 2^{-1}), \quad \bar{3} = (3, 4), \quad \bar{1}' = (0, 4),$$

$$\bar{3}' = (3^{-1} \cdot 2), \quad \bar{2} = (\infty), \quad \bar{2}' = (\Leftrightarrow 3 \cdot 2^{-1}, \Leftrightarrow 1), \quad B_3 = (\Leftrightarrow 2), \quad B_1 = (\Leftrightarrow 3, \Leftrightarrow 6),$$

$$\bar{4}' = (\Leftrightarrow 2 \cdot 3^{-1}), \quad (\bar{4}', \bar{5}, B_4) \Leftrightarrow 5 = 0.$$

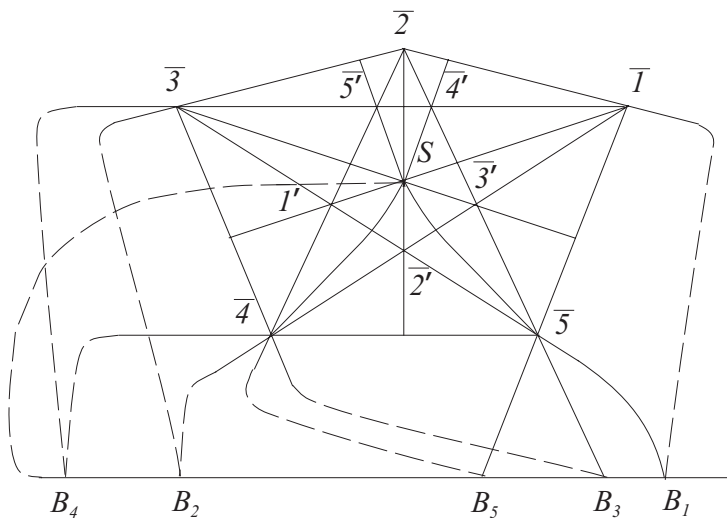
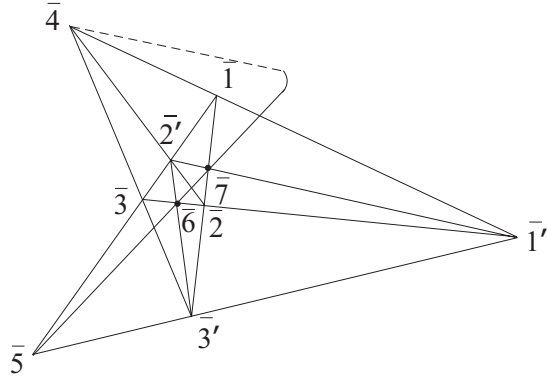


Рис. 3. (K_5)

Для дезарговой геометризации характеристики 3 тела сначала напомним, что конфигурационная система $D_s(S, l)$, где $S \ni l$, есть конфигурационная теорема L_7 [5] (рис. 4).

Рис. 4 (L_7)

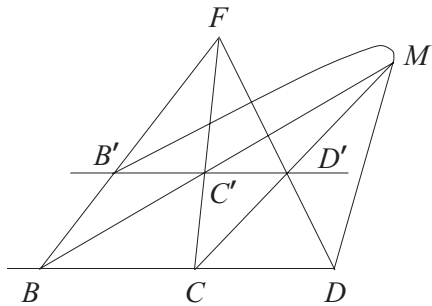
Теорема 6 (рис. 4). Имеет место следующее соотношение

$$L_7 \Leftrightarrow 1 + 1 + 1 = 0.$$

◁ Если теорему L_7 задать образующими точками $\bar{6}, \bar{1}, \bar{4}, \bar{2}$, таблицей инциденций: $\bar{7} = [\bar{4}, \bar{6}] \cap [\bar{1}, \bar{2}], \bar{1}' = [\bar{1}, \bar{4}] \cap [\bar{2}, \bar{6}], \bar{2}' = [\bar{2}, \bar{4}] \cap [\bar{4}, \bar{7}], \bar{3}' = [\bar{6}, \bar{2}'] \cap [\bar{1}, \bar{2}], \bar{3} = [\bar{3}', \bar{4}] \cap [\bar{1}', \bar{2}], \bar{5} = [\bar{1}, \bar{3}] \cap [\bar{4}, \bar{6}]$ и замыкающей инциденцией $(\bar{3}, \bar{5}, \bar{2}')$, то при следующих образующих точках: $\{\bar{6} = (0), \bar{4} = (\infty), \bar{1} = (0, 0), \bar{2} = (1, 1)\}$, другие точки L_7 будут иметь координаты: $\bar{7} = (1), \bar{1}' = (0, 1), \bar{2}' = (1, 1+1), \bar{3}' = (1+1, 1+1), \bar{3} = (1+1, 1), \bar{5} = l_\infty \cap [y = xn] = (n)$. Далее, имеем: $(\bar{1}, \bar{3}, \bar{5}) \Leftrightarrow 1 = (1+1)n, (\bar{2}', \bar{1}, \bar{3}, \bar{5}) \Leftrightarrow 1+1 = 1 \cdot n \Rightarrow 1+1+1+1 = 1 \Rightarrow 1+1+1 = 0$.

Обратным ходом рассуждений доказывается, что « $1 + 1 + 1 = 0 \Rightarrow L_7$ ». ▷

Выясним теперь геометрические взаимосвязи теорем $L_7, 8_3$ (рис. 5) и 13_4 (рис. 6). (Проективная эквивалентность 8_3 и 13_4 доказана Рашевским в работе [2]).

Рис. 5 (8_3)

Теорема 7 [5]. В плоскости G_3 характеристики 3 теоремы L_7 проективно эквивалентна теореме 8₃.

▫ (1) $13_4 \Rightarrow L_7$ (рис. 4 и 6). Рассмотрим два трехвершинника $AC'C$ и FBD' с инциденциями: $F \not\in [C, C']$, $B \not\in [A, C]$, (D', A, C') , $M = [A, F] \cap [B, C'] \cap [C, D']$, $B' = [A, C'] \cap [F, B]$, $D = [A, C] \cap [F, D']$, $Q = [C, C'] \cap [B, D']$ и докажем (M, D, Q, B') , исходя из проективного выполнения 13_4 в плоскости. С этой целью выберем в L_7 следующие 4 точки общего положения: B, C, B', C' и построим 13_4 по вышеуказанной таблице инциденций. Тогда, в силу выполнения 13_4 в плоскости, в ней имеет место инциденция (M, B', D, Q) . Таким образом из 13_4 следует L_7 в плоскости G_3 .

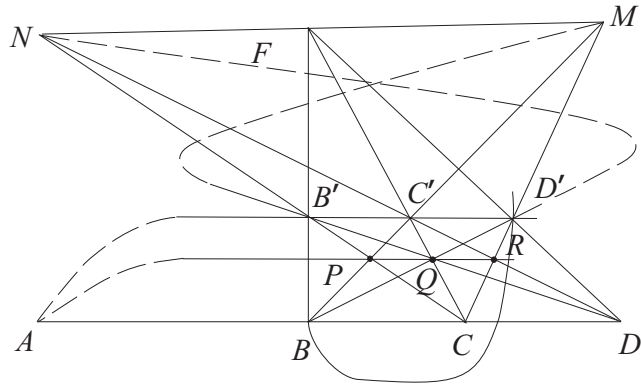


Рис. 6 (13_4)

(2) $L_7 \Rightarrow 13_4$. Докажем, что из L_7 следуют все инциденции теоремы 13_4 . С этой целью рассмотрим в 13_4 шесть пар трехвершинников:

- (I) $\{BB'Q; C'CA\}$, (II) $\{CC'P; D'DA\}$, (III) $\{MCC'; FD'B\}$,
- (IV) $\{NCC'; FB'D\}$, (V) $\{CC'M; PRF\}$, (VI) $\{CC'N; RPF\}$.

Учитывая, что в L_7 : $(Q, C, C'), (B, C, A), B' \not\in [A, C']$, $P = [B', C] \cap [B, C'] \cap [A, Q]$, прямая $[F, D']$, где $F = [B, B'] \cap [C, C']$, $D' = [B, Q] \cap [A, C']$, инциденция P , заключаем, что для трехвершинников (I) выполняются условия L_7 и, следовательно, выполняется ее замыкающая инциденция (P, F, D, D') , где $D = [B', Q] \cap [A, C]$. Таким образом, (I) $\Rightarrow (P, F, D, D')$. Аналогичными рассуждениями при учете (P, F, D, D') устанавливаем, что (II) $\Rightarrow (P, A, R)$ и (F, R, B, B') . Далее, сравнивая (P, A, Q) и (P, A, R) заключаем (P, A, R, Q) . Если учесть, что в (III): $(F, C, C'), (D', M, C), (B, M, C')$ и точки $P = [M, C'] \cap [F, D'], R = [M, C] \cap [F, B], Q = [C, C'] \cap [B, D']$ лежат, в силу (III), на одной прямой (оси перспективы) и точка $A = [C', D'] \cap [B, C]$ лежит на оси, то заключаем, что (A, F, M) . Далее имеем, что (IV) $\Rightarrow (A, F, N)$. Сравнивая две последние инциденции, мы приходим к (A, F, M, N) . Опираясь на рассуждения, аналогичные предыдущим, заключаем: (V) (B, D', Q, N) . Так как в (VI): $(C, C', F), (P, C, N), (R, C', N), (Q, B', D), Q = [C, C'] \cap [P, R], B' =$

$[C, N] \cap [R, F], D = [C', N] \cap [P, F], M = [R, C] \cap [C', P] \cap [N, R]$ в силу предыдущих инциденций, то (D, Q, M, B') . Итак, из L_7 следуют все инциденции теоремы 13₄.

(3) $8_3 \Rightarrow L_7$. Пусть трехвершинники $\overline{1}\overline{2}\overline{3}$ и $\overline{1}'\overline{2}'\overline{3}'$ имеют центр $\overline{4}$, точками пересечения сходственных сторон будут точки $\overline{5}, \overline{7}, \overline{6}$ и вершины одного (рис. 4) из них лежат на сторонах другого. Докажем тогда, что $(\overline{4}, \overline{5}, \overline{6}, \overline{7})$. С этой целью рассмотрим в L_7 пару коллинеарных точек $\overline{2}'\overline{3}\overline{5}$ и $\overline{7}\overline{2}\overline{3}'$ с центром перспективы в точке $\overline{1}'$. В силу 8_3 (рис. 5), тройки (рис. 4) $\overline{2}'\overline{3}\overline{5}$ и $\overline{2}\overline{3}'\overline{7}$ из L_7 также перспективны и с центром в $\overline{4}$. Следовательно, $8_3 \Rightarrow (\overline{4}, \overline{5}, \overline{7})$. Аналогично этому, из перспективности троек $\overline{4}\overline{1}'\overline{1}$ и $\overline{3}'\overline{6}\overline{2}'$ с центром в точке $\overline{3}$, в силу 8_3 , следует перспективность $\overline{4}\overline{1}'\overline{1}$ и $\overline{6}\overline{2}'\overline{3}'$ с центром в точке $\overline{7} = [\overline{1}', \overline{2}'] \cap [\overline{1}, \overline{3}']$. Итак, $8_3 \Rightarrow (\overline{4}, \overline{6}, \overline{7})$.

(4) $L_7 \Rightarrow 8_3$. В L_7 выделим пару коллинеарных и перспективных троек точек $\overline{2}'\overline{3}\overline{5}$ и $\overline{7}\overline{2}\overline{3}'$ (см. рис. 4) с центром $\overline{1} = [\overline{2}', \overline{7}] \cap [\overline{2}, \overline{3}] \cap [\overline{5}, \overline{3}']$. Так как в L_7 точки $\overline{4}, \overline{5}, \overline{7}$ коллинеарны, то тройки $\overline{2}', \overline{3}, \overline{5}$ и $\overline{2}, \overline{3}', \overline{7}$ перспективны с центром в точке $\overline{4} = [\overline{2}, \overline{2}'] \cap [\overline{3}, \overline{3}'] \cap [\overline{5}, \overline{7}]$. \triangleright

В заключение этой работы рассмотрим конфигурационную теорему D_8^* .

Теорема D_8^* 8. (рис. 7). Пусть для точек $(\overline{3}, \overline{6}, \overline{1}'), \overline{2}', \overline{4}$ бесконечной плоскости Фано выполняются следующие инциденции:

$$[\overline{1}', \overline{3}] \cap [\overline{4}, \overline{2}'] = \overline{2}, \quad \overline{3}' = [\overline{6}, \overline{2}'] \cap [\overline{3}, \overline{4}], \quad \overline{5} = [\overline{2}', \overline{3}] \cap [\overline{1}', \overline{3}'],$$

$$\overline{1} = [\overline{1}', \overline{4}] \cap [\overline{2}', \overline{5}], \quad \overline{7} = [\overline{1}', \overline{2}'] \cap [\overline{1}, \overline{2}],$$

тогда будут выполняться и инциденции $(\overline{5}, \overline{6}, \overline{7})$ и $(\overline{3}, \overline{3}', \overline{7})$.

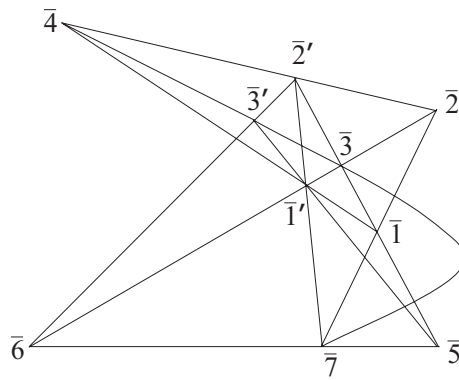


Рис. 7 (D_8^*)

Теорема D_8^* состоит из 10 точек, 10 прямых и имеет ранг 8 ($D_8^* \neq D_8$). Выясним теперь связи между D_8^* и 7_3 (рис. 8).

Теорема 9. В плоскости Фано G_2 из 7_3 следует D_8^* проективно.

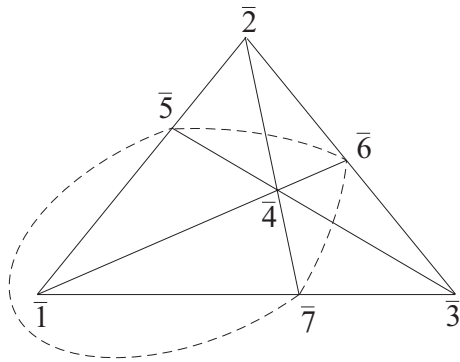
◁ Пусть выполняются все инциденции D_8^* (рис. 7), кроме $(\bar{5}, \bar{6}, \bar{7})$ и $(3, 3', 7)$. Тогда, применив 7_3 к четырехвершинникам $\bar{1}'\bar{3}\bar{2}'4$ и $\bar{3}\bar{2}'\bar{3}'\bar{1}'$, заключаем:

$$(\bar{1} = [\bar{1}', \bar{4}] \cap [\bar{3}, \bar{2}'], \bar{2} = [\bar{1}', \bar{3}] \cap [\bar{2}', \bar{4}], \bar{7}^* = [\bar{1}', \bar{2}'] \cap [\bar{3}, \bar{4}]) \Leftrightarrow (\bar{1}, \bar{2}, \bar{7}^*),$$

$$(\bar{5} = [\bar{3}, \bar{2}'] \cap [\bar{1}', \bar{3}'], \bar{6} = [\bar{3}, \bar{1}'] \cap [\bar{2}', \bar{3}'], \bar{7}' = [\bar{3}, \bar{3}'] \cap [\bar{1}', \bar{2}']) \Leftrightarrow (\bar{5}, \bar{6}, \bar{7}'),$$

$$(\bar{7} = \bar{7}^* = [\bar{1}', \bar{2}'] \cap [\bar{3}, \bar{3}', \bar{4}] \cap [\bar{1}, \bar{2}] = \bar{7}') \Rightarrow (\bar{3}, \bar{4}, \bar{7}) \text{ и } (\bar{5}, \bar{6}, \bar{7}').$$

Аналогичными рассуждениями и выкладками доказывается, что при любом другом наборе образующих точек теоремы D_8^* из 7_3 следуют все инциденции D_8^* . ▷

Рис. 8 (7_3)

Поскольку D_8^* содержит все инциденции D_9 и инциденцию $(\bar{7}, \bar{3}, \bar{4})$, то она есть частный случай D_9 в плоскости Фано, и имеет дезаргово содержание.

(Существуют и другие дезарговы геометризации характеристики 2 (см. в [6].))

Литература

1. Fano G. Sui postulati fondamentali della geometria proectiva // Giorn. Math.—1942.—V. 30.—P. 106–112.
2. Рашевский П. К. Проективная геометрия с новыми конфигурационными аксиомами // Мат. сб.—1940.—Т. 8 (50), № 2.—С. 183–203.
3. Zappa G. Piano grafici a caratteristica // Ann. Math. Pura. App.—1960.—No. 49.—P. 157–160.
4. Картеси Ф. Введение в конечные геометрии.—М.: Наука, 1980.
5. Хубежты И. А. Теорема L_7 // Геометрии инцидентностных структур и дифференциальных уравнений: Сб. науч. статей.—Смоленск, 1981.—С. 92–96.
6. Хубежты И. А. О теореме 7_3 // Деп. в ВИНИТИ, 2001.—№ 1101.—7 с.
7. Хубежты И. А. О некоторых классах алгебр и инцидентностных структур.—Владикавказ: Изд-во СОГУ, 1994.—392 с.

8. Moufang R. Die Schnittpunktsätze des projektiven speziellen Funfeckchetzes in ihrer Analogie voneinander // Math. Ann.—1935.—V. 106.—P. 755–795.

г. Владивосток

Статья поступила 23 сентября 2001